

T_{2,m}(x) = \sum_{j=0}^N a_j \cos 2j \pi x + b_j \sin 2j \pi x

x \in [0,1]

a_j = \frac{1}{N} \sum_{k=0}^{2N-1} f_k \cos \frac{2j k \pi}{2N}

b_0 = b_N = 0

b_j = \sum_{k=0}^N f_k \sin \frac{2j k \pi}{2N} \quad x_k = \frac{k}{2N} \quad 0 \le k < 2N

(equispaziati)

\Rightarrow ANALISI di FOURIER (a_j e b_j)

\otimes T_{2,m} \rightarrow SINTESI di FOURIER

Complessita O(N^2)

Scriveremo le somme a_j e b_j sotto forma di numeri complessi:

c = a + bi \quad i^2 = -1

c_1 = a_1 + ib_1 \quad c_2 = a_2 + ib_2 \quad c_1 + c_2 = a_1 + a_2 + i(b_1 + b_2)

c_1 \cdot c_2 = a_1 \cdot a_2 + i a_1 b_2 + i a_2 b_1 - b_1 b_2 \quad quindi c_1 \cdot c_2 = a_1 a_2 - b_1 b_2 + i(a_1 b_2 + a_2 b_1)

formule di Eulero

e^{ix} = \cos x + i \sin x \quad e^{-ix} = \cos(-x) + i \sin(-x) = \cos(x) - i \sin(x)

e^{ix} + e^{-ix} = 2 \cos x \quad quindi \cos x = \frac{e^{ix} + e^{-ix}}{2}

$$e^{ix} - e^{-ix} = 2i \sin x \quad \bullet \text{ quindi } \sin x = \frac{e^{ix} - e^{-ix}}{2i}$$

di ora riscriviamo analisi e sintesi di Fourier come di esponenti complessi:

$$f(x) = \sum_{J=0}^N a_J \frac{e^{i2J\pi x} + e^{-i2J\pi x}}{2} + b_J \frac{e^{i2J\pi x} - e^{-i2J\pi x}}{2i}$$

$$= \sum_{J=0}^N e^{i2J\pi x} \left(\frac{a_J}{2} + \frac{b_J}{2i} \right) + e^{-i2J\pi x} \left(\frac{a_J}{2} - \frac{b_J}{2i} \right) =$$

$$= \sum_{J=0}^N e^{i2J\pi x} \left(\frac{a_J - ib_J}{2} \right) + e^{-i2J\pi x} \left(\frac{a_J + ib_J}{2} \right) =$$

$$= \sum_{J=-N}^N C_J e^{i2J\pi x}$$

$$C_J = \frac{a_J - ib_J}{2} \quad 0 < J < N$$

$$C_J = \frac{a_J + ib_J}{2} \quad -N < J < 0$$

$$C_{\pm N} = \frac{a_N}{2}$$

$$C_0 = a_0$$

dopo tutte queste trasformazioni
risulta:

$$T_N(x) = \sum_{J=0}^{N-1} C_J e^{2J\pi x}$$

$$C_J = \frac{1}{N} \sum_{k=0}^{N-1} f_k e^{-\frac{i2J\pi k}{N}}$$

SINTESI

ANALISI DI FOURIER

Lavoreremo sull'analisi riscrivendo ulteriormente la formula:

$$C_J = \frac{1}{N} \sum_{k=0}^{N-1} f_k \omega^{Jk}$$

$$\text{con } \omega = e^{-\frac{i2\pi}{N}}$$

obteniamo quindi $2N^2$ operazioni per questa formula $[O(N^2)]$

Calcoleremo le formule in maniera un po' particolare.

$$C_J = \frac{1}{N} \sum_{k=0}^{\frac{N}{2}-1} f_k \omega^{Jk} + f_{k+\frac{N}{2}} \omega^{J(k+\frac{N}{2})} =$$

$$= \frac{1}{N} \sum_{k=0}^{\frac{N}{2}-1} f_k \omega^{Jk} + f_{k+\frac{N}{2}} \omega^{Jk} \cdot \omega^{J\frac{N}{2}} =$$

abbiamo che $\omega^{\frac{JN}{2}} = e^{\frac{-i2\pi}{N} \cdot \frac{JN}{2}} =$
 $= e^{-iJ\pi} =$

$$= \cos(-\pi J) + i \sin(-\pi J) =$$

perché il cos è
 vero nelle base di
 J (1 se J è pari -1 se è
 dispari)

$$= (-1)^J$$

Quindi tornando alle formule ho:

$$= \frac{1}{N} \sum_{k=0}^{\frac{N}{2}-1} f_k \omega^{Jk} + f_{k+\frac{N}{2}} (-1)^J \omega^{Jk}$$

Avendo il comportamento diverso nelle base dei J
 pari o dispari riscriviamo tutto così:

$$C_{2m_1} = \frac{1}{N} \sum_{k=0}^{\frac{N}{2}-1} f_k \omega^{2m_1 k} + f_{k+\frac{N}{2}} \omega^{2m_1 k} \quad \begin{matrix} J=2m_1 \\ \text{(pari)} \end{matrix}$$

$$C_{2m_1+1} = \frac{1}{N} \sum_{k=0}^{\frac{N}{2}-1} f_k \omega^{2m_1 k} \omega^k - f_{k+\frac{N}{2}} \omega^{2m_1 k} \omega^k \quad \begin{matrix} J=2m_1+1 \\ \text{(dispari)} \end{matrix}$$

in pratica ho diviso le 2 somme in
 una somma i pari ed una i dispari
~~perché~~ (perché il cos mi deve valori alternati 1 e -1)

Metto un po' in evidenza:

$$C_{2m_1} = \frac{1}{2} \left[\frac{1}{N/2} \sum_{k=0}^{N/2-1} (f_k + f_{k+N/2}) \omega_1^{m_1 k} \right] \quad (\omega_1 = \omega^2)$$

$$C_{2m_1+1} = \frac{1}{2} \left[\frac{1}{N/2} \sum_{k=0}^{N/2-1} (f_k - f_{k+N/2}) \omega_1^{m_1 k} \right]$$

Verifichiamo ora queste operazioni ci vogliono per calcolare le 2 somme.

$$\text{chiamo } f_k + f_{k+N/2} = f_k^{(1)}$$

$$\text{e } f_k - f_{k+N/2} = f_{k+N/2}^{(2)}$$

quindi

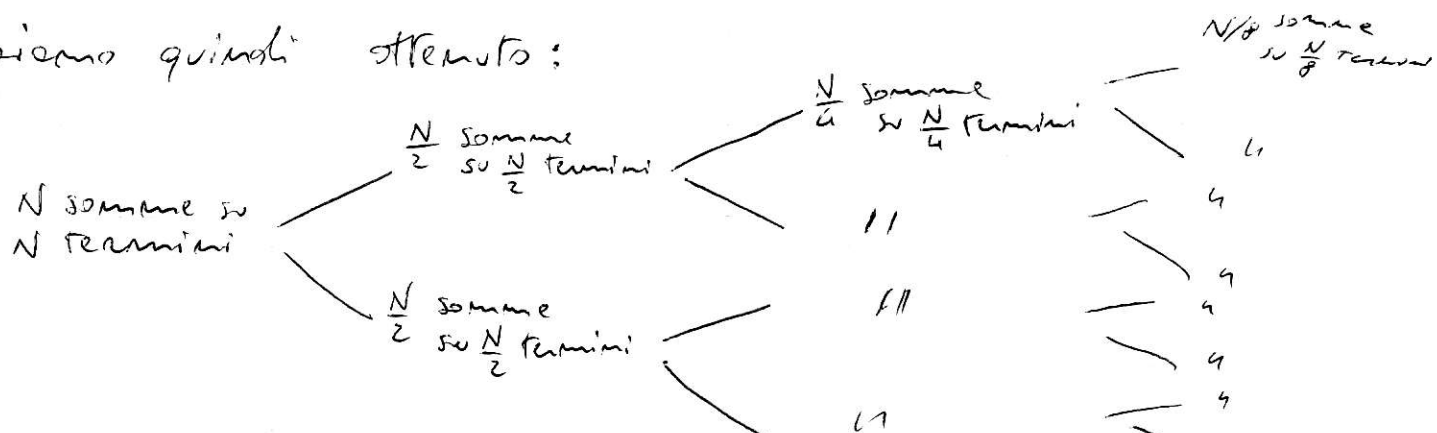
$$C_{2m_1} = \frac{1}{2} \left[\frac{1}{N/2} \sum_{k=0}^{N/2-1} f_k^{(1)} \omega_1^{m_1 k} \right]$$

$$C_{2m_1+1} = \frac{1}{2} \left[\frac{1}{N/2} \sum_{k=0}^{N/2-1} f_{k+N/2}^{(2)} \omega_1^{m_1 k} \right]$$

L'ordine in questo caso è $\frac{N^2}{2} + \frac{N^2}{2} = N^2 \Rightarrow \mathcal{O}(N^2)$ operazioni.

Ho risparmiato poco rispetto a $2N^2$ operazioni, e l'ordine è sempre alto.

Abbiamo quindi ottenuto:



possiamo quindi proseguire nella divisione delle somme

Siamo passati da N somme su N termini e
 N somme su $\frac{N}{2}$ termini e N somme su $\frac{N}{4}$ termini
ecc. ecc.

PRETENDIAMO CHE PER QUESTO ALGORITMO I DATI
SIANO IN NUMERO PARI A POTENZE DI 2.

$$N = 2^L$$

Andando avanti le sommatorie si ridurranno
ad un numero solo: $\frac{N}{2} ; \frac{N}{4} ; \frac{N}{8} \dots \frac{N}{N} = 1$

Quindi all'ultimo passo avrò N somme da 1 termine.
Dovrò per arrivare all'ultimo passo dover
considerare gli $f_k^{(1)}$ e gli $f_{k+\frac{N}{2}}^{(1)}$

Ad ogni passo faccio N operazioni
che sono quelle utili e calcolo la f .
Il numero di passi sarà $\log_2 N$ per ~~che~~ il
~~numero~~ fatto che $N =$ potenza di 2.

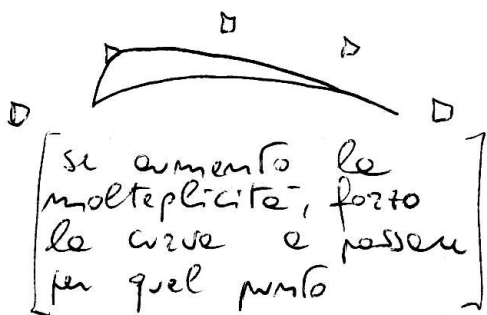
Quindi sono scesi a $N \log_2 N$ ed è un
abbattimento notevole delle complessità.

Nelle macchinette digitali le trasformate di Fourier è
implementate in circuiti integrati.

Algoritmo di de Boer

Ci consente di calcolare una curva B-S in un punto.

È un algoritmo locale (cioè modifica solo alcuni punti del poligono). È basato sulla tecnica del knot-insertion (un modo di moltiplicare p , $C(u) = P_i$)



INPUT: u

OUTPUT: $C(u)$

$u \in [u_k, u_{k+1}]$ $u = u_k$

① Sia $h = p$ (cioè inserisco u p volte)
 $S = 0$ (molteplicità di u)

② Se $u = u_k$ e ha molteplicità S , $h = p - S$ (cioè u ha molteplicità S e devo fare in modo che abbia molteplicità p).

P_{k-S}, \dots, P_{k-p} vengono nominati $P_{k-S,0}, \dots, P_{k-p,0}$

for $z=1$ to h do

for $i=k-p+z$ to $k-S$ do

begin $q_{i,z} = (u - u_i) / (u_{i+p-z+1} - u_i)$

~~end~~

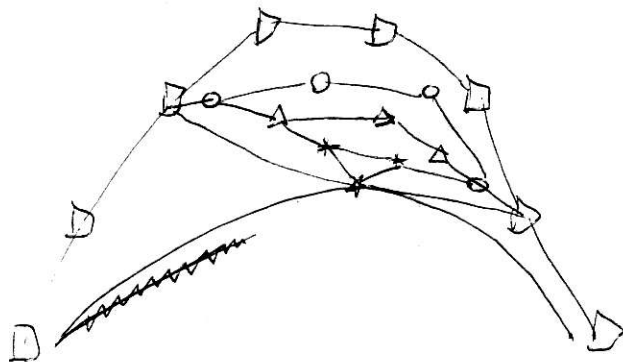
$P_{i,z} = (1 - q_{i,z}) P_{i-1,z-1} + q_{i,z} P_{i,z-1}$

end

$P_{k-S,p-S}$ è il punto $C(u)$.

esempio:

Si vanno a costruire successivamente nuovi punti
del poligono di controllo.



$u \in [0, 1]$

Differenze ~~tra~~ l'ide Casteljau e de Boer

Sono entrambi ricorsivi e stabili (piccole perturbazioni non sempre ritruete).

In de Casteljau i coeff. moltiplicativi non dipendono né da i né da j cose invece che accade in de Boer

Gli algoritmi di not-insertion e de Boer sono detti
tecniche di corner-cutting

TRASFORMAZIONI GEOMETRICHE

Ampliamo la geometria euclidea introducendo il concetto di infinito.

Consideriamo

$$(a, w), \quad w \neq 0 \quad \rightarrow \quad \frac{a}{w} \quad \text{se } w \rightarrow 0$$
$$\frac{a}{w} \rightarrow \infty$$

esempio:

$$(3, 4) \rightarrow (3w, 4w, w) \rightarrow \left(\frac{3w}{w}, \frac{4w}{w}\right)$$

Si può pensare a tali coordinate inserendo questo w che è il denominatore

$$\boxed{(3, 4, 1)} \rightarrow \boxed{\left(\frac{3}{1}, \frac{4}{1}\right)} \rightarrow \text{è il corrispondente sulle coordinate cartesiane}$$

coordinate omogenee

Si chiamano coordinate omogenee perché:

sopprimono di esse

$$ax + by + c = 0$$

sostituiamo (x, y) con $\left(\frac{x}{w}, \frac{y}{w}\right)$

quindi

$$a\frac{x}{w} + b\frac{y}{w} + c = 0 \quad \text{ossia } ax + by + cw = 0$$

Possiamo a queste coordinate omogenee ma poter ~~essere~~ introdurre il concetto di infinito.

Trasformazioni importanti in prefice

TRASLAZIONE

Dato un punto $\begin{bmatrix} x \\ y \\ 1 \end{bmatrix} \rightarrow \begin{bmatrix} x' \\ y' \\ 1 \end{bmatrix}$ ne otteniamo uno nuovo dove

$$x' = x + h$$

$$y' = y + k$$

In sostanza ~~è~~ questo il punto

representazione
matriciale del punto

representazione matriciale del punto:

$$\begin{bmatrix} x' \\ y' \\ 1 \end{bmatrix} = \begin{bmatrix} 1 & 0 & h \\ 0 & 1 & k \\ 0 & 0 & 1 \end{bmatrix} = \begin{bmatrix} x \\ y \\ 1 \end{bmatrix}$$

trasformazione inversa

$$\begin{bmatrix} x \\ y \\ 1 \end{bmatrix} = \begin{bmatrix} 1 & 0 & -h \\ 0 & 0 & -k \\ 0 & 0 & 1 \end{bmatrix} \begin{bmatrix} x' \\ y' \\ 1 \end{bmatrix}$$

ROTAZIONE

$$\begin{bmatrix} x' \\ y' \\ 1 \end{bmatrix} = \begin{bmatrix} \cos \alpha & -\sin \alpha & 0 \\ \sin \alpha & \cos \alpha & 0 \\ 0 & 0 & 1 \end{bmatrix} \begin{bmatrix} x \\ y \\ 1 \end{bmatrix}$$

La rappresentazione matriciale è comoda perché si possono comporre facilmente 2 o più trasformazioni

TRASLAZ. + ROTAZ.

$$\begin{bmatrix} x' \\ y' \\ 1 \end{bmatrix} = \begin{bmatrix} \cos \alpha & -\sin \alpha & h \\ \sin \alpha & \cos \alpha & k \\ 0 & 0 & 1 \end{bmatrix} \begin{bmatrix} x \\ y \\ 1 \end{bmatrix}$$

In 3 dimensioni la rappresentazione matriciale è:

$$\begin{bmatrix} x' \\ y' \\ z' \\ 1 \end{bmatrix} = \begin{bmatrix} \cos \alpha & -\sin \alpha & 0 & 0 \\ \sin \alpha & \cos \alpha & 0 & 0 \\ 0 & 0 & 1 & 0 \\ 0 & 0 & 0 & 1 \end{bmatrix} \begin{bmatrix} x \\ y \\ z \\ 1 \end{bmatrix} \quad \text{rotazione asse z}$$

$$\parallel = \begin{bmatrix} 1 & 0 & 0 & 0 \\ 0 & \cos \alpha & -\sin \alpha & 0 \\ 0 & \sin \alpha & \cos \alpha & 0 \\ 0 & 0 & 0 & 1 \end{bmatrix} \begin{bmatrix} x \\ y \\ z \\ 1 \end{bmatrix} \quad \text{rotaz. asse x}$$

$$\parallel = \begin{bmatrix} \cos \alpha & 0 & \sin \alpha & 0 \\ 0 & 1 & 0 & 0 \\ -\sin \alpha & 0 & \cos \alpha & 0 \\ 0 & 0 & 0 & 1 \end{bmatrix} \begin{bmatrix} x \\ y \\ z \\ 1 \end{bmatrix} \quad \text{rotaz. asse y}$$

Trasformazioni affini

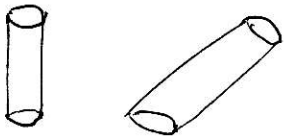
Mentre nelle rotazioni e traslazioni la forma dell'oggetto non cambia; con le transf. affini cambiano la forma dell'oggetto.

SCALING (rimpicciolire o ingrandire)

$$\begin{bmatrix} x' \\ y' \\ z' \\ 1 \end{bmatrix} = \begin{bmatrix} p & & & \\ & q & & \\ & & r & \\ & & & 1 \end{bmatrix} \begin{bmatrix} x \\ y \\ z \\ 1 \end{bmatrix}$$

p, q, r sono dei fattori di rimpicciolimento o ingrandim. e secondo che siano maggiori o minori di 1.

SHEARING



(l'oggetto viene spinto su un asse)

$$\begin{bmatrix} x' \\ y' \\ z' \\ 1 \end{bmatrix} = \begin{bmatrix} 1 & \alpha & 0 \\ 0 & 1 & 0 \\ 0 & 0 & 1 \end{bmatrix} \begin{bmatrix} x \\ y \\ z \\ 1 \end{bmatrix}$$

direzione x

$$\begin{bmatrix} x' \\ y' \\ z' \\ 1 \end{bmatrix} = \begin{bmatrix} 1 & 0 & 0 \\ \alpha & 1 & 0 \\ 0 & 0 & 1 \end{bmatrix} \begin{bmatrix} x \\ y \\ z \\ 1 \end{bmatrix}$$

direzione y

TRASFORMAZIONI PROIETTIVE (caso + generale di transf. affini)

$$\begin{bmatrix} x' \\ y' \\ z' \\ 1 \end{bmatrix} = \begin{bmatrix} p_{11} & p_{12} & p_{13} & \dots \\ \dots & \dots & \dots & \dots \\ \dots & \dots & \dots & \dots \\ \dots & \dots & \dots & \dots \end{bmatrix} \begin{bmatrix} x \\ y \\ z \\ 1 \end{bmatrix}$$

esempio:

$$\begin{bmatrix} x' \\ y' \\ z' \\ 1 \end{bmatrix} = \begin{bmatrix} 1 & -1 & 0 \\ -1 & 2 & 0 \\ -1 & 0 & 1 \end{bmatrix} \begin{bmatrix} 1 \\ 0 \\ 1 \end{bmatrix} = \begin{bmatrix} 1 \\ -1 \\ 0 \end{bmatrix}$$

la coordinata omogenea è zero per cui il punto è andato all'infinito.

CURVE NURBS hanno tutte le proprietà delle B-SPLINES

- ① Sono invarianti per trasformazioni proiettive ~~cioè~~ tale caratteristica non è presente in Bézier e B-Splines.
- ② vol dire due può lavorare sui punti del poligono di controllo per ~~trasformare~~ trasformare le curve.

$$P_0, P_1, \dots, P_m \quad (\text{punti}) \quad w_0, w_1, \dots, w_m \quad (\text{pesi})$$
$$U_0, U_1, \dots, U_m \quad (\text{odi})$$

$$C(u) = \frac{\sum_{i=0}^m N_{i,p}(u) w_i P_i}{\sum N_{i,p}(u) w_i}$$

in sostanza si voglio dare "importanza" ad un punto per esempio P_1 , aumenterò il valore di w_1 e le curve si avvicinerà a P_1 . Dando a w_1 il valore ∞ è come se non si tenesse conto di P_1 nel disegno delle curve.

- ② Sono razionali, per cui sono utili per modellare cerchi ed ellissi.

Il caso limite è avere tutti i pesi w_i pari a 1. In tal caso la curva si riduce ad una B-SPLINE.

- ③ Partendo da una B-Spline (4-dim.)

$$C(u) = \sum_i N_{i,p}(u) P_i$$

$$P_i = \begin{pmatrix} x_i \\ y_i \\ z_i \\ 1 \end{pmatrix} = P_i^{w_i} = \begin{pmatrix} w_i x_i \\ w_i y_i \\ w_i z_i \\ w_i \end{pmatrix}$$

Nel piano coesistono in ambo ~~le~~ i casi i 2 punti

Sono uguali. Passando dalle coordinate omogenee alla cartesiana ottengo che $P_i = P_i^{w_i} = \begin{pmatrix} x_i \\ y_i \\ z_i \end{pmatrix}$

Quindi

$$\sum N_{i,p}(u) P_i^{w_i} = \begin{bmatrix} \sum N_{i,p}(u) w_i x_i \\ \sum N_{i,p}(u) w_i y_i \\ \sum N_{i,p}(u) w_i z_i \\ \sum N_{i,p}(u) w_i \end{bmatrix}$$

Quindi la spline $C(u)$ è uguale a

Per tornare allo spazio a 3 dimensioni:

$$\begin{bmatrix} \frac{\sum N_{i,p}(u) w_i x_i}{\sum N_{i,p}(u) w_i} \\ \frac{\sum N_{i,p}(u) w_i y_i}{\sum N_{i,p}(u) w_i} \\ \frac{\sum N_{i,p}(u) w_i z_i}{\sum N_{i,p}(u) w_i} \end{bmatrix} \stackrel{3 \text{ dimensioni}}{=} \frac{\sum N_{i,p}(u) w_i P_i}{\sum N_{i,p}(u) w_i}$$

↓
NURBS
curve

Quindi una curve NURBS a 3 dimensioni è una B-spline a 4 dimensioni

Più precisamente:

le NURBS sono la proiezione 3 dimensionale di una B-SPLINE a 4 dimensioni

$$C(u) = \sum_{i=0}^m N_{i,p}(u) P_i$$

si parte da una B-SPLINE di 4 dimensioni

$$P_i = \begin{pmatrix} x_i \\ y_i \\ z_i \\ 1 \end{pmatrix} ; \quad P_i^w = \begin{pmatrix} w_i x_i \\ w_i y_i \\ w_i z_i \\ w_i \end{pmatrix}$$

$$C(u) = \sum_i N_{i,p}(u) \begin{bmatrix} w_i x_i \\ w_i y_i \\ w_i z_i \\ w_i \end{bmatrix} = \begin{bmatrix} \sum N_{i,p}(u) w_i x_i \\ \sum N_{i,p}(u) w_i y_i \\ \sum N_{i,p}(u) w_i z_i \\ \sum N_{i,p}(u) w_i \end{bmatrix} \left. \begin{array}{l} \text{B-SPLINE} \\ \text{in 4 dimensioni} \end{array} \right\}$$

$$\begin{bmatrix} \sum_i N_{i,p}(u) w_i x_i \\ \sum_i N_{i,p}(u) w_i \\ \sum_i N_{i,p}(u) w_i y_i \\ \sum_i N_{i,p}(u) w_i \\ \sum_i N_{i,p}(u) w_i z_i \\ \sum_i N_{i,p}(u) w_i \end{bmatrix}$$

$$= \frac{\sum N_{i,p}(u) \begin{bmatrix} w_i x_i \\ w_i y_i \\ w_i z_i \end{bmatrix}}{\sum N_{i,p}(u) w_i}$$

$$= \frac{\sum N_{i,p}(u) w_i P_i}{\sum N_{i,p}(u) w_i}$$

NURBS in 3 dimensioni

Una curva NURBS a 3 dimensioni può essere considerata come una proiezione di una B-SPLINE quadridimensionale

Per calcolare una NURBS ^{in un punto}, posso e che relative B-SPLINE in 4 dimensioni, lo valuto con l'algoritmo di DE-BOER e poi ripasso alle NURBS.

DERIVATA di UNA B-SPLINE

$$\frac{d}{du} C(u) = C'(u) = \sum_{i=0}^{m-1} N_{i+1, p-1}(u) Q_i$$

con $Q_i = \frac{P}{u_{i+p+1} - u_{i+1}} (P_{i+1} - P_i)$

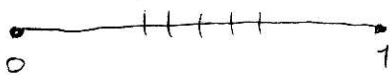
PARAMETRIZZAZIONE (parameter selection) ^{unite 9}
 u_0, u_1, \dots, u_m $m = m + p + 1$
* punti del poligono di controllo

Scegliamo due le cose possibili per gli estremi.

$$u_0 = u_1 = \dots = u_p = 0$$

Come scegliamo i Knots?

① u_i uniformemente spazati $u_{j+p} = \frac{j}{m-p+1}$, $j=1, \dots, m-p$



è una parametrizzazione semplice ma dei cattivi risultati

② average (media)

$$u_{j+p} = \frac{1}{p} \sum_{i=j}^{j+p-1} t_i, \quad j=1, \dots, m-p$$

Vediamo ora come scegliere le quantità t_i

Ⓐ t_i uniformemente spazati $t_i = \frac{i}{m}$; $i=0, \dots, m$
 (non è una buona scelta)

ci si ripropone lo stesso problema di prima.

$$\textcircled{B} \quad t_0 = 0; \quad t_n = 1; \quad t_k = \frac{1}{L} \left(\sum_{i=1}^k |p_i - p_{i-1}| \right)$$

$$\text{con } L = \sum_{i=1}^n |p_i - p_{i-1}|$$

Metodo chiamato ~~per~~ CHORD LENGTH

Si desidera così perché si cerca di mantenere una proporzione tra l'arco delle curve e il segmento del poligono di controllo in questione



\textcircled{C} Parametrizzazione centripeta

Stile alle precedenti ma con un esponente in p_i

$$t_k = \frac{1}{L} \left(\sum_{i=1}^k |p_i - p_{i-1}|^e \right) \quad 0 < e < 1$$

$$L = \sum_{i=1}^n |p_i - p_{i-1}|^e$$

Si vuole dare l'accelerazione centripeta delle curve, in prossimità degli angoli, che diminuisce

$$\text{Per } e = 1 \quad c = B$$

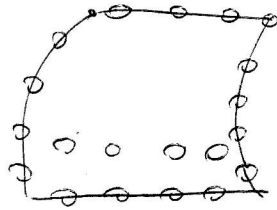
Per il progetto confrontarsi con esempi del capitolo 9.

SUPERFICI

vedremo le parametriche $f(u, v) = (x(u, v), y(u, v), z(u, v))$
 esistono anche le implicite (sono un insieme più vasto
 costituito da poligoni in 3D)

Assegnamo dei punti detti CONTROL NET (l'equivalente
 del poligono di controllo per le superfici)

$P_{i,j}$ con $i = 0, \dots, m$
 $j = 0, \dots, n$



Superfici di Bezier

Estensione delle curve di Bezier alle superfici.

$$f(u, v) = \sum_{i=0}^m \sum_{j=0}^n B_{m,i}(u) B_{n,j}(v) P_{i,j} =$$

$\underbrace{\hspace{10em}}_{\text{funzioni di Bezier}} \quad \underbrace{\hspace{10em}}_{\text{come nel caso delle curve}}$

obteniamo quindi 2 curve di Bezier che si
 "colano" tra loro.

$$\sum_{i=0}^m B_{m,i}(u) \left[\sum_{j=0}^n B_{n,j}(v) P_{i,j} \right] \otimes$$

$\underbrace{\hspace{10em}}_{q_i}$

calcoliamo q_0

$$q_0 = \sum_{j=0}^n B_{n,j}(v) P_{0,j} \leftarrow 1^{\text{a}} \text{ riga del control net}$$

Sostanzialmente questa è una curva di Bezier che posso
 calcolerla con de Casteljau.

$$q_1 = \sum_{j=0}^m B_{m,j}(v) P_{0,1,j}$$

(stesse coordinate di polino)

q_2
 \vdots
 q_m

ed alla fine otteno le m righe del control mat.

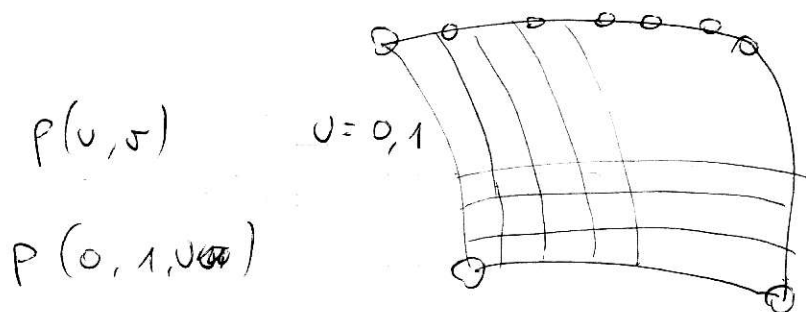
Quindi una volta che i q_i sono noti le \otimes diventa:

$\sum_{i=0}^m B_{m,i}(u) q_i$ ← anche questa è una curva di Bézier
 e calcolando il tutto ho ottenuto una superficie di Bézier in 2 variabili.

Proprietà delle SUPERFICI

- ① $B_{m,i}(u), B_{m,j}(v) \geq 0$
- ② $\sum \sum B_{m,j}(v) B_{m,i}(u) = 1$
- ③ CONVEX HULL
- ④ Le superficie passa per gli estremi che sono $P_{0,0}$; $P_{m,m}$; $P_{0,m}$; $P_{m,0}$.

Immaginiamo di avere



Varcando u ricopra tutte le superficie creando delle wire date ISOPARAMETRICHE.

= stesse cose lo posso fare per il parametro ν .

$$\nu = 0,1 ; \nu = 0,2 \text{ ecc. ---}$$

$$p(0,1,0) ; p(0,2,0) \text{ ---}$$

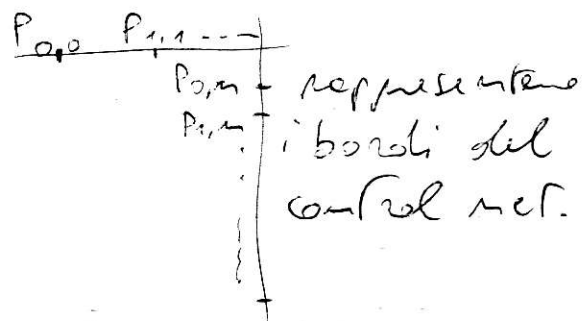
Le curve isoparametriche di Bessel ^{dette anche patch} è una curva
 - cui fisso un parametro e faccio scendere
 l'altro.

in caso particolare sono le curve isoparametriche di
 $\nu=0$ o curve di confine.

$$p(0,0) ; p(1,0) ; p(0,2) , p(0,1)$$

$$p(0,0) = \sum B_{m,j}(\nu) P_{0,j}$$

$$p(0,1) = \sum B_{m,i}(\nu) P_{i,m}$$



possiamo decomporre una superficie di Bessel nel
 seguente prodotto

$$p(\nu, \nu) = \underbrace{[B_{m,0}(\nu) \text{ --- } B_{m,m}(\nu)]}_{\text{curve Bessel}} \begin{bmatrix} P_{0,0} & P_{0,1} & \text{---} & P_{0,m} \\ \vdots & \vdots & & \vdots \\ P_{m,0} & \text{---} & \text{---} & P_{m,m} \end{bmatrix} \begin{bmatrix} B_{m,0}(\nu) \\ \vdots \\ B_{m,m}(\nu) \end{bmatrix} \Bigg| \text{curve Bessel}$$

È importante perché ho realizzato una scomposizione
 in curve di Bessel unidimensionali.

L'analisi di Fourier mostra i suoi problemi nel momento in cui ci troviamo ad operare con segnali delle frequenze NON stazionarie.

PROBLEMI della TRASFORMATA di FOURIER

- Contiene solo informazioni sulle frequenze, le funzioni sin e cos sono periodiche e non possiedono l'ampiezza ed un singolo intervallo.
- Le informazioni sul tempo vengono perse.
- Funziona bene con segnali stazionari.
- Crea problemi con segnali non stazionari.

Ci sarebbe una sorta di trasformata di Fourier nel ~~tempo~~ ^{tempo}.

Tale trasformata esiste e si chiama trasformata di Fourier SHORT-TIME.

Suddividiamo il ~~segnale~~ ^{ogni} segnale in intervalli considerando ~~la~~ ^{ogni} funzione con un valore nell'intervallo e nullo all'esterno di esso. Ci potrebbe essere un problema di stima dei coefficienti di Fourier tagliando gli intervalli (box)retti.

Le funzioni box quindi vanno scelte più dolci.

Problemi delle ~~STFT~~ STFT

- Scelta di una finestra appropriata
 - finestre piccole => cattiva risoluzione in frequenza
 - finestre grandi => cattiva risoluzione nel tempo

Interpolazione globale

$n+1$ punti dati $d_0, d_1, d_2, \dots, d_n$ } (PUNTI DEL PIANO)

Voglio costruire una curva B-S di grado p fissato che passi attraverso d_0, d_1, \dots, d_n .

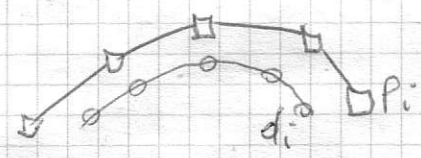
I valori dei parametri t_0, \dots, t_n sono calcolati con i metodi noti.

Da questi parametri calcolo il vettore dei knots di $n+1$ punti.

Da Cerco $n+1$ punti di controllo $\boxed{p_0, p_1, \dots, p_n}$ questi punti rappresentano l'immagine
 con $p(u) = \sum_{i=0}^n N_{i,p}(u) p_i$

$d_k = p(t_k) = \sum_{i=0}^n N_{i,p}(t_k) p_i, \quad k=0, \dots, n$

$$N = \begin{bmatrix} N_{0,p}(t_0) & N_{1,p}(t_0) & \dots & N_{n,p}(t_0) \\ N_{0,p}(t_1) & N_{1,p}(t_1) & \dots & N_{n,p}(t_1) \\ \vdots & \vdots & \dots & \vdots \\ N_{0,p}(t_n) & N_{1,p}(t_n) & \dots & N_{n,p}(t_n) \end{bmatrix}$$



$$D = \begin{bmatrix} d_{0,1} & d_{0,2} & d_{0,3} \\ d_{1,1} & d_{1,2} & d_{1,3} \\ \vdots & \vdots & \vdots \\ d_{n,1} & d_{n,2} & d_{n,3} \end{bmatrix}$$

$$P = \begin{bmatrix} p_{0,1} & \dots & p_{0,3} \\ p_{1,1} & \dots & p_{1,3} \\ \vdots & \vdots & \vdots \\ p_{n,1} & \dots & p_{n,3} \end{bmatrix}$$

d_k trattati come n vettori nello spazio S
 ($S=2$ o $S=3$) (la dimensione di S è 2 nel piano e 3 nello spazio)

$D = N \times P$ P rappresenta le incognite.

risolvo il sistema per colonne

d^i i -esima colonna di D $d^i = \sum_{i=0}^n N_{i,p} p_i$
 p^i " " " " P

Esempio del sistema

$$K = 0$$

$$d_0 = p(t_0) = N_{0,p}(t_0)p_0 + N_{1,p}(t_0)p_1 + \dots + N_{m,p}(t_0)p_m$$

$$K = 1$$

$$d_1 = p(t_1) = N_{0,p}(t_1)p_0 + N_{1,p}(t_1)p_1 + \dots + N_{m,p}(t_1)p_m$$

ecc. ecc con K che arriva ad m .

Nella scelta di t_0 è il caso di fare il confronto con gli esempi delle dispense.

Possiamo scegliere $S = 2$ e risolvere nel piano

Vediamo se come risolvere un sistema di equazioni lineari.

$$Ax = b$$

metodo di Gauss

$$\left\{ \begin{array}{l} a_{11}x_1 + a_{12}x_2 + \dots + a_{1n}x_n = b_1 \\ 0 \quad a_{22}x_2 + a_{23}x_3 + \dots + a_{2n}x_n = b_2 \\ 0 \quad 0 \quad \text{---} \quad \text{---} \quad \text{---} \\ \dots \quad \dots \quad \dots \quad \dots \quad \dots \\ a_{m-1,m-2}x_{m-1} + a_{m-1,m}x_m = b_{m-1} \\ a_{m,m}x_m = b_m \end{array} \right.$$

MATRICE TRIANGOLARE

x_n è particolarmente nota, per cui andando per i e sostituire il tutto e ritroso, risolvere il sistema.

in generale

in calcolo
$$x_k = \frac{b_k - \sum_{j=k+1}^n a_{kj} x_j}{a_{kk}}, \quad k=n-1, \dots, 1$$

Quindi abbiamo ancora di ricondurre una generica matrice ad una triangolare.

Per far ciò la formula è la seguente:

PREMESSE:

- Quando ad un'equazione del sistema sostituisco una comb. lineare dell'eq. stessa con un'altra dello stesso sistema il nuovo sistema risulta equivalente al precedente.

In sostanza per ogni equazione i si sommano le righe i alle righe $i-1$ moltiplicate per un coefficiente.

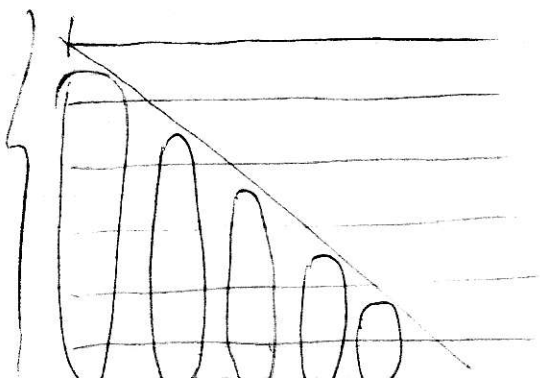
esempio

$$\left\{ \begin{array}{l} \frac{a_{21}}{a_{11}} (a_{11}x_1 + a_{12}x_2 + \dots + a_{1n}x_n) + \\ a_{21}x_1 + a_{22}x_2 + \dots + a_{2n}x_n \end{array} \right.$$

$$0 + x_2 \left(\frac{-a_{21}a_{12}}{a_{11}} + a_{22} \right) + \dots$$

Quindi il coefficiente x_1 è scomparso.

Facciamo lo stesso per le seguenti equazioni, arrivando ad una forma triangolare



$$Q_{ij}^{(k+1)} = Q_{ij}^{(k)} + m_{ik} Q_{kj}^{(k)}$$

$$j = k+1, \dots, n$$

$$i = k+1, \dots, n$$

$$m_{ik} = - \frac{Q_{ik}^{(k)}}{Q_{kk}^{(k)}}$$

$$b_i^{(k+1)} = b_i^{(k)} + m_{ik} b_k^{(k)}$$

algoritmo di Gauss

ottergo con tale
formula un sistema

triangolare e per
risolvere il sistema
uso l'algoritmo per i
sistemi triangolari

gli Q_{kk} sono i pivot in caso di pivot
per i e zero o molto piccoli ~~non~~ di cui
dei problemi.

Uso la strategia del pivoting parziale, in
sostanza verifico i termini nella stessa colonna
e considero il pivot di modulo massimo
che ad esempio sarà nell'equazione i -esima
e questo punto può sembrare l'equazione
in questione con la i -esima e risolvo il
problema